

КРИТЕРИЙ ПЛАСТИЧНОСТИ ПРИ МОДЕЛИРОВАНИИ КОНТАКТА ТЯЖЕЛОНАГРУЖЕННЫХ ШЕРОХОВАТЫХ ПОВЕРХНОСТЕЙ

Определен критерий пластичности при контактировании шероховатой поверхности с упругим полупространством с учетом взаимного влияния неровностей. Показано, что начало пластической деформации отдельной неровности зависит от общего напряженно-деформированного состояния полупространства.

Ключевые слова: шероховатость, контактирование шероховатых поверхностей, упругая деформация, критерий пластичности, взаимное влияние неровностей.

Задача отыскания критерия пластичности окончательно не решена. Все предложенные до сих пор критерии имеют ограниченную область применения. Наиболее близкое совпадение с экспериментальными данными по вдавливанию инденторов в упруго-пластичные среды показали энергетическая теория сдвиговой деформации Мизеса и теория максимальных касательных напряжений Треска. Различие двух критериев невелико, поэтому целесообразно использовать критерий Треска из-за его алгебраической простоты. Третий критерий пластичности известен как критерий максимального приведенного напряжения. Критерий Треска и критерий приведенного напряжения образуют пределы, между которыми находится истинный критерий пластичности [1].

Перечисленные выше критерии были исследованы в работе [2] для их применения при контактировании шероховатых поверхностей без учета взаимного влияния неровностей. Однако для многих соединений деталей машин характерна большая плотность пятен контакта, при которой на контактные характеристики в значительной мере оказывают взаимное влияние неровности. Поэтому вызывает практический интерес определение начала пластической деформации неровности для тяжело нагруженного контакта шероховатых поверхностей.

Рассмотрим контакт жесткой шероховатой поверхности, а также отдельной сферической поверхности радиусом R и с вершиной, расположенной на расстоянии uR_{\max} от линии вершин шероховатой поверхности, с упруго-пластическим полупространством в системе цилиндрических координат ρ, φ, z с началом в точке O , принадлежащей недеформированной поверхности полупространства. Влияние на характеристики контакта отдельной неровности в пределах круговой области $W_1(\rho = 0, a_{ri})$ напряжений на остальных пятнах контакта будет эквивалентно влиянию равномерно распределенной нагрузки q_c , действующей в кольцевой области $W_2(\rho = a_{ci}, a_L)$, причем $a_L \gg a_{ci}$. Решение данной осесимметричной задачи представлено в работах [3–6]. Ниже приведем выражения, характеризующие контакт отдельной неровности и шероховатой поверхности с полупространством.

Распределение контактного давления на площадке контакта

$$q_{ri}(\rho) = \frac{4\eta_i^{0.5}\omega R_{\max}}{\pi\theta a_{ci}} \sqrt{1 - \frac{\rho_i^2}{a_{ri}^2}} + \frac{q_c}{\pi} \arccos \frac{1 - \eta_i(2 - \rho_i^2/a_{ri}^2)}{1 - \eta_i\rho_i^2/a_{ri}^2}, \quad (1)$$

контурное давление для отдельной неровности

$$q_{ci} = \frac{8\eta_i^{1.5}\omega R_{\max}}{3\pi\theta a_{ci}} + q_c \Psi_{\eta}(\eta_i), \quad (2)$$

$$\text{где } \Psi_{\eta}(\eta_i) = \frac{2}{\pi} [\arcsin \eta_i^{0.5} - \sqrt{\eta_i(1 - \eta_i)}]. \quad (3)$$

В приведенных выражениях ω, R_{\max}, a_{ci} – параметры микрогеометрии; $\theta = E/(1 - \mu^2)$ – упругая постоянная; $\eta_i = a_{ri}^2/a_{ci}^2$.

Среднее q_{mi} и максимальное давление $q_{ri}(0)$ на пятне контакта

$$q_{mi} = \frac{q_{ci}}{\eta_i} = \frac{8\eta_i\omega R_{\max}}{3\pi\theta a_{ci}} + q_c \Psi_{\eta}(\eta_i), \quad (4)$$

$$q_{ri}(0) = \frac{4\eta_i^{0.5}\omega R_{\max}}{\pi\theta a_{ci}} + \frac{q_c}{\pi} \arccos(1 - 2\eta_i). \quad (5)$$

Упругий контакт шероховатой поверхности с полупространством описывается выражениями

$$F_q(\varepsilon) = \frac{8}{3\pi} \frac{\int_0^{\min(\varepsilon, \varepsilon_s)} \eta_i^{1.5} \phi'_n(u) du}{1 - \int_0^{\min(\varepsilon, \varepsilon_s)} \Psi_{\eta}(\eta_i) \phi'_n(u) du}; \quad (6)$$

$$q_c(\varepsilon) = \int_0^{\min(\varepsilon, \varepsilon_s)} q_{ci} \phi'_n(u) du; \quad \eta(\varepsilon) = \int_0^{\min(\varepsilon, \varepsilon_s)} q_{ci} \phi'_n(u) du \quad (7)$$

$$\text{где } F_q = \frac{\theta q_c a_c}{\omega R_{\max}}, \quad (8)$$

$$\eta_i = \frac{\varepsilon - u}{2\omega} - F_q \left[1 + \frac{F_q}{2} \sqrt{\left(1 + \frac{F_q}{2}\right)^2 - \frac{\varepsilon - u}{2\omega}} \right]. \quad (9)$$

Область применения выражений (1)–(9) ограничена критерием пластичности, определяющим начало пластической деформации.

* - автор, с которым следует вести переписку

Схема нагружения полупространства при контактировании отдельной неровности представлена на рис. 1.

Для определения напряженно-деформированного состояния внутри полупространства используем соотношения закона Гука:

$$\left. \begin{aligned} \sigma_r &= 2G \left[\varepsilon_r + \frac{\mu}{1-2\mu} \cdot e \right]; \sigma_\varphi = 2G \left[\varepsilon_\varphi + \frac{\mu}{1-2\mu} \cdot e \right]; \\ \sigma_z &= 2G \left[\varepsilon_z + \frac{\mu}{2-2\mu} \cdot e \right]; \tau_{rz} = G \cdot \gamma; \end{aligned} \right\} (10)$$

$$\left. \begin{aligned} \varepsilon_r &= \frac{\partial u_r}{\partial r}; \varepsilon_\varphi = \frac{u}{r}; \varepsilon_z = \frac{\partial u_z}{\partial z}; \\ \gamma &= \frac{\partial u_r}{\partial r} + \frac{\partial u_z}{\partial z}; \\ e &= \varepsilon_z + \varepsilon_r + \varepsilon_\varphi. \end{aligned} \right\} (11)$$

Вначале определим перемещения u_z и u_r . Используем принцип суперпозиции перемещений от действия нагрузок q_r и q_c :

$$u_z = u_{z1} + u_{z2}.$$

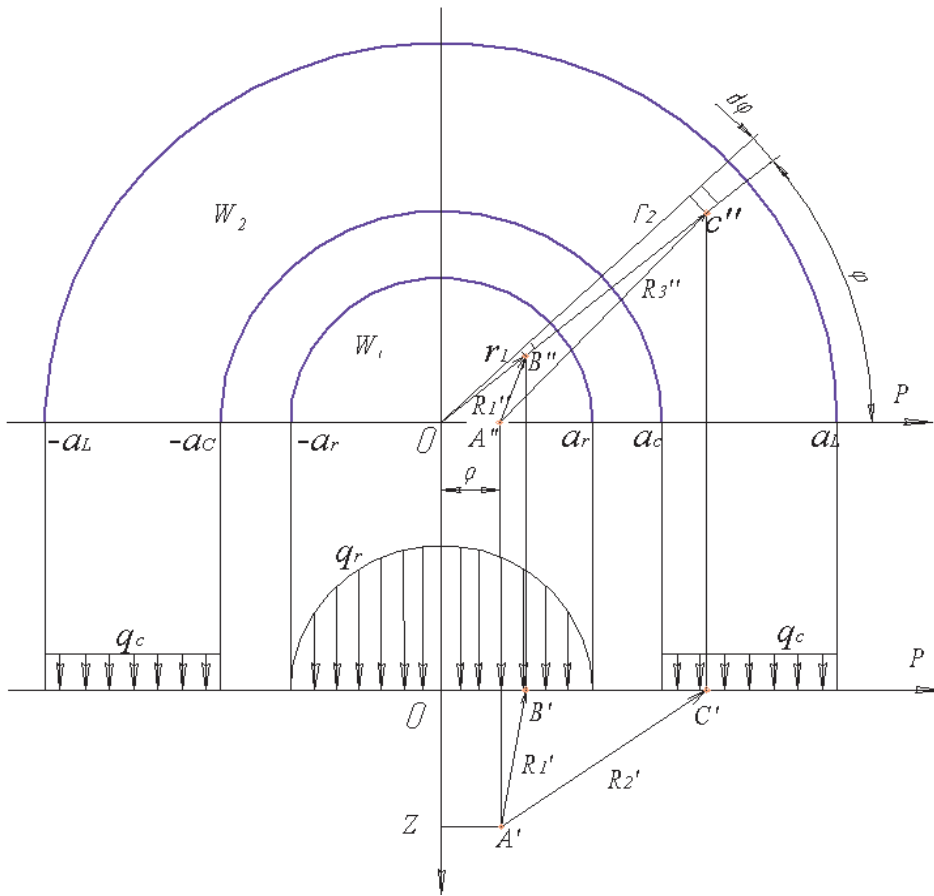


Рис. 1. Схема нагружения полупространства

Согласно данным работы [1]

$$u_z = \frac{\theta}{\pi} \left[\Psi - \frac{z}{2(1-\mu)} \cdot \frac{\partial \Psi}{\partial z} \right],$$

где

$$\Psi = \Psi_1 + \Psi_2,$$

$$\Psi_1 = \iint_{W_1} q_1(r_1) \frac{1}{R_1} r_1 dr_1 d\varphi;$$

$$\Psi_2 = \iint_{W_2} q_c \frac{1}{R_2} r_2 dr_2 d\varphi;$$

$$R_i = \sqrt{r_i^2 + \rho^2 + z^2 - 2r_i \rho \cos \varphi}, \quad i = 1; 2.$$

Так как распределение $q_r(r_1)$ незначительно отличается от герцевского, то

$$q_r(r_1) = q_{r0} \sqrt{1 - r_1^2 / a_r^2}.$$

Тогда

$$\Psi_1 = 2q_{r0} \int_0^{a_r} \int_0^\pi \frac{\sqrt{1 - r_1^2 / a_r^2} r_1 dr_1 d\varphi}{\sqrt{r_2^2 + \rho^2 + z^2 - 2r_2 \rho \cos \varphi}},$$

$$\Psi_2 = 2q_c \int_{a,0}^{a_r} \int_0^\pi \frac{r_2 dr_2 d\varphi}{\sqrt{r_2^2 + \rho^2 + z^2 - 2r_2 \rho \cos \varphi}}.$$

Обозначая

$$\bar{r}_1 = \frac{r}{a_r}, \quad \bar{\rho} = \frac{\rho}{a_r}, \quad \bar{z}_1 = \frac{z}{a_r},$$

$$\bar{r}_2 = \frac{r_2}{a_c}, \quad \bar{z}_2 = \frac{z}{a_c}, \quad \bar{a} = \frac{a_L}{a_c},$$

имеем

$$\Psi_1 = 2q_{r0}a_r \int_0^\pi \int_0^\pi \frac{\bar{r}_1 \sqrt{1-\bar{r}_1^2} d\bar{r}_1 d\varphi}{\sqrt{\bar{r}_1^2 - 2\bar{r}_1\bar{\rho}\eta_i \cos \varphi + \bar{\rho}^2 + \bar{z}_1}}; \quad (12)$$

$$\Psi_2 = 2q_c a_c \int_0^\pi \int_0^\pi \frac{\bar{r}_2 d\bar{r}_2 d\varphi}{\sqrt{\bar{r}_2^2 - 2\bar{r}_2\bar{\rho}\eta_i^{0.5} \cos \varphi + \bar{\rho}^2 + \bar{z}_1}}; \quad (13)$$

$$\frac{\partial \Psi}{\partial z} = \frac{\partial \Psi_1}{a_r \partial \bar{z}_1} + \frac{\partial \Psi_2}{a_c \partial \bar{z}_2}. \quad (14)$$

При $Z=0$ из выражений (12), (13) и (14) получим

$$\Psi_1 \Big|_{z=0} = \frac{\pi^2 q_{r0} a_r}{4} (2 - \bar{\rho}),$$

$$\Psi_2 \Big|_{z=0} = 4q_c a_c \left[\bar{a} \mathbf{E} \left(\frac{\bar{\rho} \eta_i^{0.5}}{\bar{a}} \right) - \mathbf{E}(\bar{\rho}, \eta_i^{0.5}) \right],$$

$$\frac{\partial \Psi}{\partial z} \Big|_{z=0} = -2\pi q_{ri}(\bar{\rho}),$$

где $\mathbf{E}(x)$ – полный эллиптический интервал второго рода.

Учитывая, что

$$\mathbf{E}(x) = \frac{\pi}{2} {}_2F_1 \left(-\frac{1}{2}, \frac{1}{2}; 1; x^2 \right),$$

где ${}_2F_1$ – гипергеометрическая функция Гаусса, для перемещений \bar{u}_z на поверхности площадки контакта получим

для выражений (15), (16), (17) имеем

$$\left. \begin{aligned} \frac{\bar{\sigma}_r}{q_{н.о}} &= \left(1 + \frac{F_q}{4\eta_i^{0.5}} \arccos(1-2\eta_i) \right) \cdot \left(\frac{1-2\mu}{3\bar{\rho}^2} \left[1 - (1-\bar{\rho}^2)^{\frac{3}{2}} \right] - (1-\bar{\rho}^2)^{\frac{1}{2}} \right), \\ \frac{\bar{\sigma}_\varphi}{q_{н.о}} &= - \left(1 + \frac{F_q}{4\eta_i^{0.5}} \arccos(1-2\eta_i) \right) \cdot \left(\frac{1-2\mu}{3\bar{\rho}^2} \left[1 - (1-\bar{\rho}^2)^{\frac{3}{2}} \right] + (1-\bar{\rho}^2)^{\frac{1}{2}} \right), \\ \frac{\bar{\sigma}_z}{q_{н.о}} &= - \left((1-\bar{\rho}^2)^{\frac{1}{2}} + \frac{F_q}{4\eta_i^{0.5}} \arccos \left(\frac{1-\eta_i(2-\bar{\rho}^2)}{1-\eta_i\bar{\rho}^2} \right) \right). \end{aligned} \right\} \quad (18)$$

Используя выражения (15)...(17) для напряжений $\bar{\sigma}_z, \bar{\sigma}_r, \bar{\sigma}_\varphi$, которые на площадке контакта являются главными, можно рассчитать эквивалентные напряжения и определить начало пластической деформации.

Напряжения на оси z можно вычислить, рассмотрев элементарные кольца радиуса r_1 и r_2 ,

$$\bar{u}_z = \frac{\pi}{4} q_{r0} \theta a_r (2 - \bar{\rho}^2) + 2q_c \theta a_c \left[\bar{a} {}_2F_1 \left(-\frac{1}{2}, \frac{1}{2}; 1; \frac{\bar{\rho}\eta_i}{\bar{a}^2} \right) - {}_2F_1 \left(-\frac{1}{2}, \frac{1}{2}; 1; \bar{\rho}^2 \eta_i \right) \right];$$

$$\bar{\varepsilon}_z = \frac{\partial \bar{u}_z}{\partial z} = \frac{1-2\mu}{1-\mu} \theta q_{r0} (1-\bar{\rho}^2)^{\frac{1}{2}};$$

$$\bar{\sigma}_z = -q_{r0} (1-\bar{\rho}^2)^{\frac{1}{2}} = -q_{ri}(\bar{\rho}). \quad (15)$$

Для радиального перемещения на площадке контакта имеем

$$du_{r1} = -\frac{1-2\mu}{2\pi G} \cdot \frac{q_r(r_1) d\omega_1}{R_1};$$

$$du_{r2} = -\frac{1-2\mu}{2\pi G} \cdot \frac{q_r d\omega_2}{R_2}.$$

С учетом данных [1] и выражений (10), (11) для поверхности площадки контакта получим

$$\bar{u}_{r1} = -\frac{1-2\mu}{2(1-\mu)} \cdot \frac{q_{r0} a_r}{\bar{\rho}} \left[1 - (1-\bar{\rho}^2)^{\frac{3}{2}} \right], \quad \bar{u}_{r2} = 0;$$

$$\sigma_r = q_{r0} \left(\frac{(1-2\mu)}{3\bar{\rho}^2} \left[1 - (1-\bar{\rho}^2)^{\frac{3}{2}} \right] - (1-\bar{\rho}^2)^{\frac{1}{2}} \right), \quad (16)$$

$$\bar{\sigma}_\varphi = -q_{r0} \left(\frac{(1-2\mu)}{3\bar{\rho}^2} \left[1 - (1-\bar{\rho}^2)^{\frac{3}{2}} \right] - 2\mu(1-\bar{\rho}^2)^{\frac{1}{2}} \right). \quad (17)$$

С учетом того, что выражение (5) можно представить в виде

$$q_{r0} = q_{н.о} + \frac{q_c}{\pi} \arccos(1-2\eta_i) =$$

$$= q_{н.о} \left(1 + \frac{F_q}{4\eta_i^{0.5}} \arccos(1-2\eta_i) \right),$$

$$\text{где } q_{н.о} = \frac{4\eta_i^{0.5}}{\pi} \cdot \frac{\omega R_{\max}}{\theta a_c},$$

на которые действуют сосредоточенные силы. Нагрузки на кольца равны $2\pi r_1 q_c(r_1) dr_1$ и $2\pi r_2 q_c(r_2) dr_2$. Подставляя эти значения в выражения для напряжений оси сосредоточенных сил и интегрируя по площадям W_1 и W_2 , находим

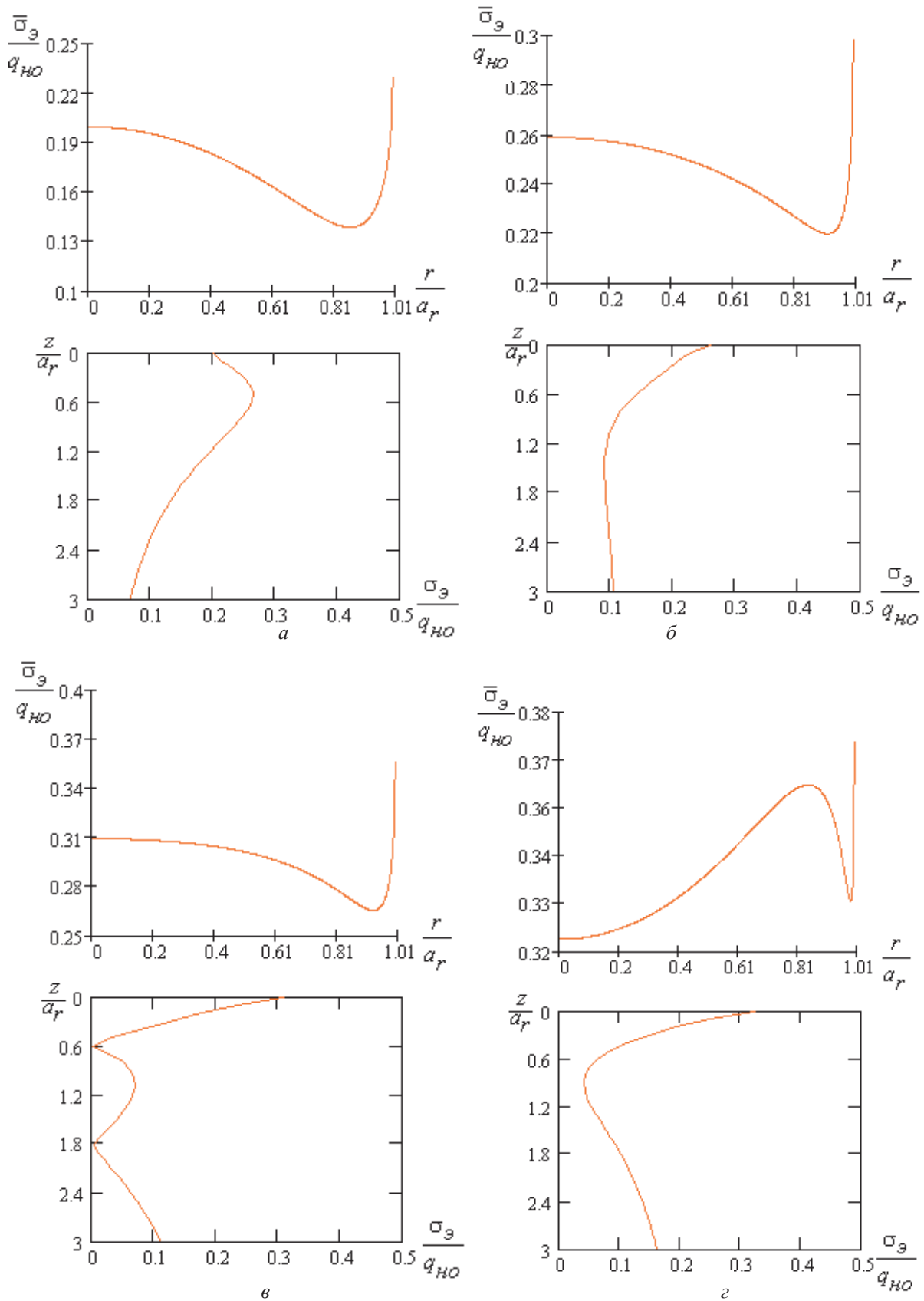


Рис. 2. Эквивалентные напряжения на площадке контакта и на оси z :
 а - $\varepsilon = 0.05, u = 0$; б - $\varepsilon = 1, u = 0$; в - $\varepsilon = 1.5, u = 0.5$; з - $\varepsilon = 1.5, u = 0$

$$\frac{\sigma_{r1}}{q_{ho}} = \frac{\sigma_{\phi1}}{q_{ho}} = \left(1 + \frac{F_q}{4\eta_i^{0,5}} \arccos(1 - 2\eta_i) \right) \times \left(\frac{1}{2} (1 + \bar{z}^2)^{-1} - (1 + \mu)(1 - \bar{z} \arccctg \bar{z}) \right);$$

$$\frac{\sigma_{z1}}{q_{ho}} = - \left(1 + \frac{F_q}{4\eta_i^{0,5}} \arccos(1 - 2\eta_i) \right) (1 + \bar{z}^2)^{-1};$$

$$\frac{\sigma_{r2}}{q_{ho}} = \frac{\sigma_{\phi2}}{q_{ho}} = \frac{\pi F_q \bar{z}}{8} \left(2(1 + \mu) \left((\bar{a}^2 + \eta_i \bar{z}^2)^{\frac{1}{2}} - (1 - \eta_i \bar{z}^2)^{\frac{1}{2}} \right) \right) - \eta_i \bar{z}^2 \left((\bar{a}^2 + \eta_i \bar{z}^2)^{\frac{3}{2}} - (1 + \eta_i \bar{z}^2)^{\frac{3}{2}} \right);$$

$$\sigma_{z2} = \frac{\pi F_q \eta_i \bar{z}^3}{4} \left(2(1 + \mu) \left((\bar{a}^2 + \eta_i \bar{z}^2)^{\frac{3}{2}} - (1 + \eta_i \bar{z}^2)^{\frac{3}{2}} \right) \right).$$

Используя полученные выражения для компонент напряжений на оси z , можно определить эквивалентные напряжения и начало пластических деформаций. При этом следует учесть, что

$$\sigma_r = \sigma_{r1} + \sigma_{r2}, \quad \sigma_{\phi} = \sigma_{\phi1} + \sigma_{\phi2}, \quad \sigma_z = \sigma_{z1} + \sigma_{z2}.$$

На рис. 2 представлены графические зависимости эквивалентного напряжения $\bar{\sigma}_3(\bar{\rho})$ и $\sigma_z(\bar{z})$ на площадке контакта и на оси z , рассчитанные по энергетической теории сдвиговой деформации Мизеса для неровностей, расположенных на уровнях $u=0$ (a, b, z) и $u=0,5$ (δ), при различных нагрузках (значениях ε):

$$\sigma_s = \sqrt{(\sigma_r - \sigma_{\phi})^2 + (\sigma_{\phi} - \sigma_z)^2 - (\sigma_z - \sigma_r)^2} / \sqrt{2}.$$

При малых нагрузках, когда не сказывается взаимное влияние неровностей, зарождение пластической деформации происходит в приповерхностном слое в точке $z=0,481a_r$. С ростом взаимного влияния неровностей при $\varepsilon > 0,7$ максимум эквивалентного напряжения на оси z в приповерхностном слое исчезает и пластические деформации зарождаются на краю площадки контакта при $\bar{\rho}=1$. Эквивалентные напряжения на краю и в центре площадки контакта можно определить из выражений (18):

$$\bar{\sigma}_3(1) = \frac{1-2\mu}{\sqrt{3}} q_{r0}, \quad \bar{\sigma}_3(0) = \frac{1-2\mu}{2} q_{r0}. \quad (19)$$

Для всего диапазона нагрузок (значений ε)

$$\text{отношение } \frac{\bar{\sigma}_3(1)}{\bar{\sigma}_3(0)} = \frac{2}{\sqrt{3}},$$

т.е. является постоянным.

Из выражения (5) с учетом (19) определим предельное значение η_{pi} , при котором появляются пластические деформации на краю площадки контакта:

$$\eta_{pi} = \left(\frac{\pi\sqrt{3}}{4(1-2\mu)} F_Y - \frac{F_q}{4} \arccos(1 - 2\eta_{pi}) \right)^2,$$

где $F_Y = \frac{\theta\sigma_Y a_c}{\omega R_{\max}}$.

Соответствующее этому контурное давление

$$q_{cpi} = q_{ci} |_{\eta_i = \eta_{pi}},$$

где q_{ci} определяется выражением (5).

В общем случае максимальное контактное давление, при котором начинается пластическая деформация, представляется выражением

$$q_{oP} = K_Y \sigma_Y,$$

где K_Y – константа; σ_Y – предел текучести.

Если без учета взаимного влияния неровностей для $\mu=0,3$ $K_Y=5$, то при взаимном влиянии неровностей для $\varepsilon=1$ и $u=0$ $K_Y=3,34$; для $\varepsilon=1,5$ и $u=0$ $K_Y=2,68$.

Таким образом, начало пластической деформации отдельной неровности зависит от общего напряженно-деформированного состояния полупространства.

Литература

1. Джонсон, К. Механика контактного взаимодействия. – М.: Мир, 1989. – 510 с.
2. Огар, П.М. Критерий пластичности при контактировании шероховатых поверхностей / П.М. Огар, А.А. Дайнеко, С.С. Клюс // Механики XXI века. VI Всероссийская научно-техническая конференция с международным участием: сборник докладов. – Братск: Изд-во ГОУ ВПО «БрГУ», 2007. – С. 313–317.
3. Огар, П.М. Влияние характеристик стыка шероховатых уплотнительных поверхностей на герметичность / П.М. Огар, И.И. Корсак. – Братск: БрИИ, 1989. – 110 с. Деп. в ВИНТИ, №6109 – В90.
4. Долотов, А.М. Основы теории и проектирование уплотнений гидропневмоарматуры летательных аппаратов / А.М. Долотов, П.М. Огар, Д.Е. Чегодаев. – М.: Изд-во МАИ, 2000. – 296 с.
5. Огар, П.М. Герметичность металлополимерных стыков шероховатых поверхностей / П.М. Огар, Р.Н. Шеремета, Д. Лханаг. – Братск: Изд-во БрГУ, 2006. – 159 с.
6. Огар, П.М. Моделирование упругого контакта тяжело нагруженных шероховатых поверхностей / П.М. Огар, О.Ю. Сухов, С.П. Ереско // Математическое моделирование, численные методы и комплексы программ: межвуз. темат. сб. тр. – СПб.: СПбГАСУ. – 2002. – № 8. – С. 305–310.